

بررسی تأثیر مکانیسم گام متغیر در توسعه عملکرد ربات پرنده چهارپره با استفاده از واپایشگر خطی‌سازی بازخورد

یاسین سرافراز^۱، فرید شاهمیری^۲، سید حسین سادati^۳

۱ دانشجوی دکتری هواشناسی، مجتمع دانشگاهی هواشناسی، دانشگاه صنعتی مالک اشتر، تهران، sarafraz@mut.ac.ir

۲ استادیار، مجتمع دانشگاهی هواشناسی، دانشگاه صنعتی مالک اشتر، تهران

۳ دانشیار، مجتمع دانشگاهی هواشناسی، دانشگاه صنعتی مالک اشتر، تهران

تاریخ دریافت: ۹۶/۰۶/۱۵

تاریخ پذیرش: ۹۷/۱۲/۰۵

چکیده

هدف از این تحقیق، توسعه روش‌های واپایش^۱ ربات هواپی چهارپره-کوادراتور- با استفاده از مکانیسم گام متغیر و مقایسه آن با روش غالب واپایش این‌گونه پرنده‌ها مبنی بر تغییر سرعت دوران روتورهای اصلی، است. مدل‌سازی دینامیکی در این بررسی اساساً شامل مدل آئرودینامیک روتورهای اصلی در رینولدز پایین، مدل‌سازی دینامیکی موتور و سیستم پیشران با تلفیق تئوری ممنت المان پره است. با قید حداقل مصرف توان و بهره‌گیری مکان هندسی ریشه‌ها، بهینه‌سازی پرواز ایستا، پیاده‌سازی و با دو حلقه وضعیت و موقعیت از روش‌های خطی و همچنین خطی‌سازی بازخورد پرنده واپایش گردیده است. واپایش موقعیت پرنده در مکانیسم گام متغیر بهبود مانور پذیری پرنده را نمایش می‌دهد. مقایسه نتایج شبیه‌سازی، بهبود عملکرد را در مکانیسم گام متغیر با استفاده از خطی‌سازی بازخورد در مقابل روش واپایشگر^۲ خطی اثبات می‌نماید.

واژگان کلیدی

کوادراتور، گام متغیر، تئوری المان پره، خطی‌سازی بازخورد، واپایشگر خطی.

۱. مقدمه

بیشتری خواهد شد. مکانیسم گام متغیر درواقع تمہیدی برای افزایش قابلیت پروازی و سرعت بخشی به عملیاتی است که در کوادراتورهای گام ثابت به علت بالا بودن لختی روتورهای اصلی دسترسی به آن‌ها غیرممکن شده است. مطالعات و بررسی‌ها نشان می‌دهد که تحقیقات گستردگی در زمینه کوادراتورهای گام ثابت صورت گرفته است. لی [۱] و طبیی [۲] واپایشگرهای تناسبی - مشتقی - انتگرالی را بر روی

کوادراتور یک پهپاد بالگرد است که از چهار روتور اصلی برای هدایت و واپایش پرنده استفاده می‌نماید. هدایت و واپایش این پرنده اغلب با تغییر سرعت دوران روتورهای اصلی و تغییر نیروها و گشتاورها صورت می‌گیرد. تجهیز کوادراتور به مکانیسم تغییر زاویه گام پره روتور اصلی، رامحلی منطقی و مناسب برای افزایش مانور پذیری و تقویت چالاکی در مقایسه با کوادراتورهای گام ثابت است که منجر به خلق و توسعه فرصت‌های عملیاتی

کوادروتور گام ثابت پیاده‌سازی و شبیه‌سازی نموده‌اند. همزمان با توجه به رژیم خاص پرندۀ کوادروتور، مارتین [۳] و سمیر بوعبدالله [۴] تحلیل آئرودینامیکی پرواز کوادروتور در رینولدزهای پایین را طراحی واپايشگر خطی در حوزه کوادروتور گام ثابت انجام دادند. در ادامه احمد [۵]، مدانی [۶] و یو-یالی [۷] و دادگر [۸] با استفاده از واپايشگر گام به عقب، پایدار کوادروتور گام ثابت را توسعه دادند. خطی سازی بازخورد نیز به عنوان یک روش واپايش غیرخطی پرندۀ برای کوادروتورهای گام ثابت توسعه مختاری [۹] و فانگ زو [۱۰] و بنالگ [۱۲] مورد بررسی قرار گرفته است. همچنین خوشبوی [۱۳] با استفاده از روش کنترل گام به عقب مقاومت سیستم کنترلی را در مقابل عدم قطعیت جرم کوادروتور گام ثابت نشان داد. علیرغم گستره فعالیت‌های صورت گرفته در کوادروتور گام ثابت؛ استفاده از تغییر زاویه گام در واپايش پرندۀ برای بهبود عملکرد و توسعه پاکت پروازی کوادروتور کمتر موردنظر قرار گرفته است. این روش اولین بار توسط آستین [۱۴] بررسی و اوی موفق به ساخت یک کوادروتور با مکانیسم گام متغیر شد. البته در نتایج این تحقیق گزارشی از طراحی سامانه واپايش خودکار و یا طراحی کنترل کننده‌ها ارائه نشده است. در ادامه می‌چینی [۱۵] واپايشگر خطی را برای کوادروتور گام متغیر طراحی نمود و سپس بهینه‌سازی دو بعدی مسیر را در آن پیاده‌سازی کرد. در تحقیق حاضر به منظور پوشش نقاط ضعف مطرح شده نخست یک مدل دینامیکی جامع (به انضمام دینامیک موتور) مبتنی بر تئوری ممتم و المان پره به طور جامع بررسی می‌شود. سپس با استفاده از مدل دینامیکی مجموعه پیشran مقایسه‌ای بین مکانیسم‌های گام ثابت و گام متغیر انجام شده و بعد از آن واپايش وضعیت و موقعیت پرندۀ با واپايشگرهای خطی طراحی شده است. طی پیاده‌سازی واپايشگرهای طراحی شده در شبیه‌ساز ۶ درجه آزادی و مقایسه توان مصرفی در هر روش، عملکرد دو مکانیسم مقایسه می‌گردد. در انتهای با توجه به چالاکی و برتری مکانیسم گام متغیر، چهت توسعه سیستم واپايش از روش خطی سازی بازخورد در طراحی سیستم واپايش بهره‌برداری و نتایج شبیه‌سازی ۶ درجه آزادی ارائه خواهد شد.

۲. مدل سازی پرندۀ

در قدم اول با توجه به الزامات پرواز پرندۀ مدل دینامیکی پرندۀ کوادروتور گام متغیر توسعه داده می‌شود.

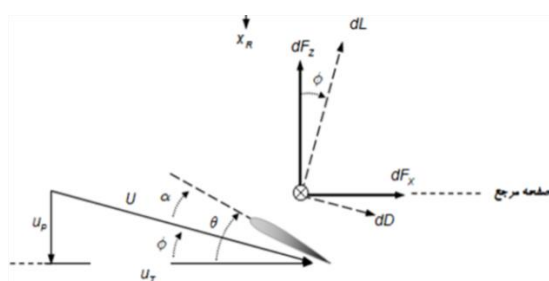
۱-۲. مدل آئرودینامیک روتور اصلی

از تلفیق تئوری ممتم و المان پره، برای محاسبه نیروها و گشتاورهای آئرودینامیکی روتور اصلی در پرواز ایستاد استفاده می‌شود [۱۶] بر اساس این تئوری و با فرض اینکه پره روتور اصلی ایروفیل استاندارد است مطابق شکل‌های ۱ و ۲ می‌توان نشان داد که نیروها و گشتاورهای آئرودینامیکی در یک المان دیفرانسیلی به ضخامت dy به فاصله y از مرکز دوران روتور اصلی برابر می‌گردد با:

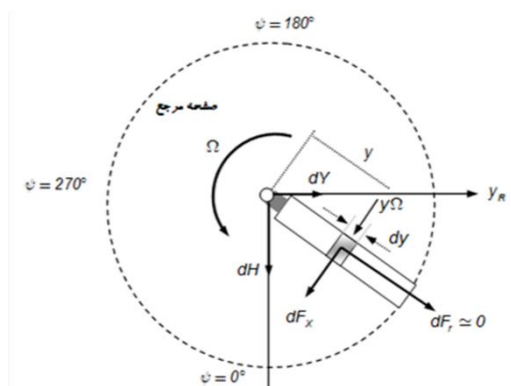
$$dL = \frac{1}{2} \rho c V^2 C_{l\alpha} \alpha dy \quad (1)$$

$$dD = \frac{1}{2} \rho c V^2 C_D dy \quad (2)$$

که در آن c چگالی هوا، ρ وتر پره و V سرعت خطی المان است. همچنین $C_{l\alpha}$ شبیه منحنی برآ و C_D ضریب نیروی پسای المان است.



شکل ۱. نمایش سرعت و نیروهای آئرودینامیکی المان دیفرانسیلی پره



شکل ۲. نمایش المان دیفرانسیلی پره در صفحه روتور اصلی

با توجه به شکل واضح است:

$$V = \sqrt{u_p^2 + u_T^2} \quad (3)$$

با توجه $u_p \gg u_T$ در شرایط پرواز ایستاد می‌توان نتیجه گرفت:

$$I\dot{\Omega} = Q_M - Q_L \quad (11)$$

در معادله بالا $\dot{\Omega}$ شتاب زاویه‌ای و Q_L گشتاور مورد نیاز برای چرخش موتور در معادله (۸) و Q_M گشتاور تولیدی موتور و I ممان اینرسی پره است. گشتاور موتور الکتریکی را می‌توان از اختلاف جریان i و جریان بدون بار i_0 تقسیم بر ثابت گشتاور بیان نمود:

$$Q_M = \frac{(i - i_0)}{K_q} \quad (12)$$

با جایگزینی معادلات (۱۲) و (۱۰) در رابطه (۱۱) مدل موتور الکتریکی به صورت ذیل خواهد شد:

$$I\dot{\Omega} = \left[\left(v - \frac{\Omega}{K_v} \right) \frac{1}{R} - i_0 \right] \frac{1}{K_q} - Q_L \quad (13)$$

با جایگزینی (۸)، در معادله موتور (۱۳) مدل دینامیکی روتور اصلی و موتور نتیجه خواهد شد:

$$I\dot{\Omega} = \left[\left(v - \frac{\Omega}{K_v} \right) \frac{1}{R} - i_0 \right] \frac{1}{K_q} - \rho c R_p^4 \Omega^2 \left(\frac{C_{D0} + C_{Di} \theta^2}{4} - \frac{C_{La} \theta}{3R_p \Omega} \right) \quad (14)$$

همان‌گونه که ملاحظه می‌شود تغییرات سرعت دورانی مجموعه پیش‌ران به ولتاژ موتور و زاویه حمله (گام) پره همزمان وابسته است. با استفاده از بسط تیلور و صرف‌نظر نمودن از جملات دوم به بعد، در پرواز ایستا و با فرض سرعت ثابت دورانی روتور اصلی (Ω_0) و زاویه تعادل گام پره (θ_0)، معادله (۱۴) خطی سازی می‌شود:

$$\begin{aligned} \Delta\dot{\Omega} = & -\frac{1}{I} \left[\frac{1}{RK_v K_q} + 2\rho c R_p^4 \frac{C_{D0}}{4} \Omega_0 \right. \\ & + 2\rho c R_p^4 \frac{C_{Di}}{4} \Omega_0 \alpha_0^2 - \rho c R_p^3 \frac{C_{La}}{3} \alpha_0 \Delta\Omega \Big] \\ & + \frac{1}{I} \left[\frac{1}{RK_q} - 2\rho c R_p^4 \frac{C_{Di}}{4} \Omega_0^2 \alpha_0 \right] [\Delta v] \\ & + \rho c R_p^3 \frac{C_{La}}{3} \Omega_0 \end{aligned} \quad (15)$$

در معادله (۱۵)، v و α ولتاژ و زاویه گام پره، ورودی سیستم و تراست به عنوان خروجی تعریف شده‌اند همچنین شعاع پره جهت تفکیک از مقاومت الکتریکی موتور با R_p نمایش داده شده است. معادله بالا رابطه تغییر سرعت دوران روتور اصلی را به تغییرات ولتاژ و زاویه گام پره ارائه داده و امكان مقایسه رفتار دینامیکی کوادراتورهای گام متغیر و گام ثابت با یکدیگر را ایجاد نموده است.

$$V = u_T = \Omega r \quad (16)$$

از طرفی مطابق شکل می‌توان نشان داد که تصویر نیروهای پسا و برآی المان در صفحه روتور اصلی به فرم ذیل خواهد شد:

$$dT = (dL\cos\phi - dD\sin\phi) \quad (17)$$

$$dQ = (dL\sin\phi + dD\cos\phi)y \quad (18)$$

در رابطه فوق ϕ زاویه حمله جریان داخلی، و dT و dQ به ترتیب گشتاور و تراست آتروودینامیکی المان حول مرکز دوران

روتور اصلی است. با جایگذاری رابطه (۱۶) در (۱۷) و فرض R_p به عنوان شعاع پره و سرعت القایی یکنواخت در روتور اصلی، با انتگرال‌گیری روی معادله (۱۷) در فاصله 0 تا R_p می‌توان نشان داد

که تراست روتور اصلی برابر می‌شود با:

$$T = \frac{1}{3} \rho c \Omega^2 R_p^3 C_{l\alpha} \alpha \quad (19)$$

همچنین مقدار گشتاور موردنیاز برای دوران پره به صورت زیر به دست می‌آید:

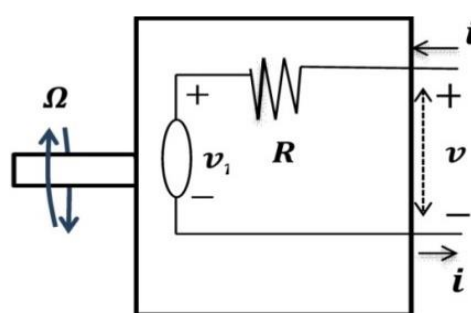
$$Q_L = \rho c R_p^4 \Omega^2 \left(\frac{C_{D0} + C_{Di} \theta^2}{4} - \frac{C_{La} \theta}{3R_p \Omega} \right) \quad (20)$$

۲-۲. مدل ریاضی موتور الکتریکی

برای تکمیل مدل ریاضی کوادراتور گام متغیر با توجه به شکل ۳ و با استفاده از قانون کیرشهف [۱۷] می‌توان نوشت:

$$v = Ri + \frac{\Omega}{K_v} \quad (21)$$

که در آن، K_v ثابت موتور بر حسب $\frac{rad/s}{vol}$ ، R مقاومت داخلی موتور و Ω سرعت دورانی روتور اصلی می‌باشد.



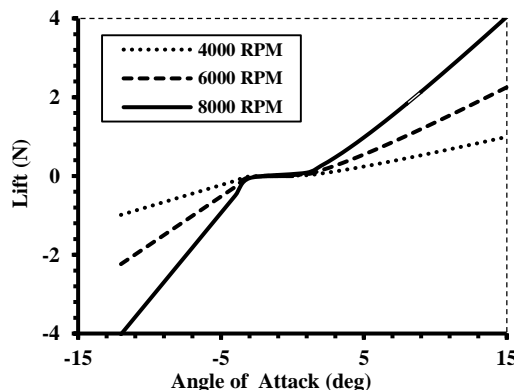
شکل ۳. مدار معادل یک موتور الکتریکی

مقدار جریان مصرفی نیز در موتور بر حسب مقدار سرعت دوران از رابطه (۲۰) محاسبه می‌شود:

$$i = \frac{1}{R} \left(v - \frac{\omega}{K_v} \right) \quad (21)$$

بر اساس قانون بقای ممتنم نتیجه می‌شود:

به تغییرات سرعت دوران روتور اصلی است که بدون تردید این نقطه قوت کوادروروتور گام متغیر به گام ثابت است.



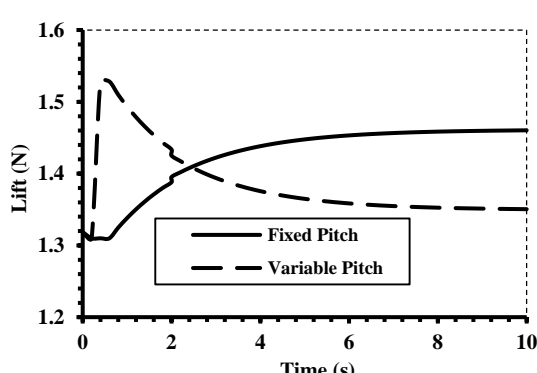
شکل ۴. تغییرات تراست بر حسب زاویه گام و سرعت دوران روتور اصلی در کوادروروتور گام متغیر

بر اساس معادله (۱۵) و در فضای لاپلاس برای یک مجموعه پیشran با دو مکانیسم مختلف، واضح است که:

$$\frac{\Delta T(s)}{\Delta v(s)} = \frac{0.2172}{s + 0.536} \quad (16)$$

$$\frac{\Delta L(s)}{\Delta \alpha(s)} = \frac{6.742 s + 3.161}{s + 0.536} \quad (17)$$

برای ارزیابی مکانیسم‌های گام ثابت و گام متغیر؛ سرعت دورانی در پرنده روی مقدار 8000 دور بر دقیقه معادل حدود 850 رادیان بر ثانیه در نظر گرفته شده است. همچنین زاویه گام روتور اصلی نیز مقدار 7° است. با این شرایط اولیه پاسخ سامانه پیشran به فرمان تراست پله واحد، در شکل‌های ۵ و ۶ نشان داده شده است. همان‌گونه که در شکل ۵ دیده می‌شود، سامانه گام متغیر از سرعت بالاتری برخوردار است.



شکل ۵ پاسخ سامانه پیشran به فرمان پله واحد افزایش تراست

۳-۲. ضرایب آئرودینامیکی پره در رینولدز پایین

لزوم محاسبه ضرایب آئرودینامیکی روی المان دیفرانسیلی در اعداد رینولدز پایین (حدود 10^5 ماخ ۰.۱) از محدودیت‌های جدی در حوزه مدل‌سازی آئرودینامیکی روتور اصلی در کوادروروتورها محسوب می‌شود. اطلاعات بیشتر در مرجع [۱۸] آورده شده است. در این تحقیق بمنظور رفع گلوگاه فوق با فرض آنکه مشخصات فنی کوادروروتور مطابق جدول ۱ است. با استفاده از نرم‌افزار XFOIL ضرایب آئرودینامیکی المان پره (ایرفویل NACA 0009) محاسبه و در جدول ۲ ارائه شده است. برای درک بهتر عملکرد کوادروروتور گام متغیر با بارگذاری ضرایب آئرودینامیک جدول ۲ در معادلات (۷) و (۸) جایگذاری و تغییرات نیروی تراست بر حسب گام پره θ سرعت دورانی روتور اصلی Ω برای کوادروروتور گام متغیر در شکل ۴ نشان داده شده است.

جدول ۱: مشخصات کوادروروتور گام متغیر

متغیر	آحاد	مقدار
حداکثر وزن پرخاست (W)	kg	۰,۶
موتور الکتریکی		AXI - 2208
ممان اینرسی I_z	$kg.m^2$	۰۰۰۱۳
ممان اینرسی I_x	$kg.m^2$	۰۰۰۷۵
ممان اینرسی I_y	$kg.m^2$	۰۰۰۷۵
طول بازوی پیشran (L)	cm	۱۷
ایرفویل پره		NACA 0009
وتر پره	cm	۲۰,۵
شعاع پره	cm	۱۱
ممان اینرسی موتور (I)	$kg.m^2$	۰۰۰۰۷

جدول ۲: ضرایب آئرودینامیکی ایرفویل ناکا ۰۰۰۹ در ماخ ۰/۱ و رینولدز 10^5

C_{L_a}	C_{L_0}	C_{D_0}	$C_{D_1} = C_{D_2}$
۲۰۸۷	.	۰۰۰۱۲۳	۰۰۰۲۱

جدول ۳: مشخصات موتور AXI-2208

K_v	K_q	R	i_0
۱۱۰۰	۱۰۰	۰,۲۶	۰,۳۵

تراست روتور اصلی برای پرواز ایستا، در ترکیبات مختلفی از سرعت دورانی روتور اصلی و زاویه گام قابل دستیابی است. همان‌گونه که ملاحظه می‌شود سرعت تغییرات نیروی تراست به ازای تغییرات زاویه گام پره بسیار بالاتر از سرعت تغییرات نسبت

$$u_4 = \sum_{i=1}^4 T_i$$

معادله مکان پرنده در مختصات اینرسی نیز با استفاده از زوایای اویلر و سرعت خطی پرنده در مختصات بدنی به صورت زیر است:

$$\begin{bmatrix} \dot{x} \\ \dot{y} \\ \dot{z} \end{bmatrix} = R_{\varphi\theta\psi}^{-1} \begin{bmatrix} \dot{u} \\ \dot{v} \\ \dot{w} \end{bmatrix} \quad (22)$$

با توجه به پرواز ایستای پرنده در حالت پایدار، زوایای اویلر، سرعت‌های زاویه‌ای و خطی صفر بوده و می‌توان از ترموماتی داخلی طولی و عرضی صرف‌نظر کرد. همچنین چون زوایای اویلر صفر هستند معادلات شتاب زاویه‌ای $\ddot{r}, \ddot{q}, \ddot{p}$ در دستگاه مختصات بدنی برابر می‌شود با:

$$\begin{aligned} \ddot{\psi} &= u_3/I_z \\ \ddot{\phi} &= bu_1/I_z \\ \ddot{z} &= u_4/m \\ \ddot{\theta} &= bu_2/I_y \end{aligned} \quad (23)$$

تابع تبدیل $\frac{\theta(s)}{I_y}$ نشان‌دهنده تغییر زاویه گام کوادراتور به تغییرات ولتاژ و یا تغییرات زاویه گام ملخ است. این تابع تبدیل از ترکیب معادلات شتاب زاویه‌ای پرنده، فرمان‌های واپايشی و تابع تبدیل تراست به زاویه گام ملخ و یا ولتاژ محاسبه می‌شود.

$$\frac{\theta(s)}{\Delta v(s)} = \frac{\theta(s)}{\Delta l(s)} \frac{\Delta l(s)}{\Delta v(s)} = \frac{2b}{s^2 I_y} \left(\frac{0.2172}{s + 0.536} \right) \quad (24)$$

$$\frac{\theta(s)}{\Delta \alpha(s)} = \frac{\theta(s)}{\Delta l(s)} \frac{\Delta l(s)}{\Delta \alpha(s)} = \frac{2b}{s^2 I_y} \left(\frac{6.7s + 3.1}{s + 0.536} \right) \quad (25)$$

بقیه درجات آزادی پرنده بر حسب استفاده از روش‌های مختلف واپايش نیز به همین ترتیب به دست می‌آید. البته برای واپايش زاویه سمت پرنده از گشتاور تولیدی روتور استفاده می‌شود. با توجه رابطه خطی بین مقدار گشتاور و مقدار برآ، تابع تبدیل آن نیز به صورت زیر بیان می‌شود:

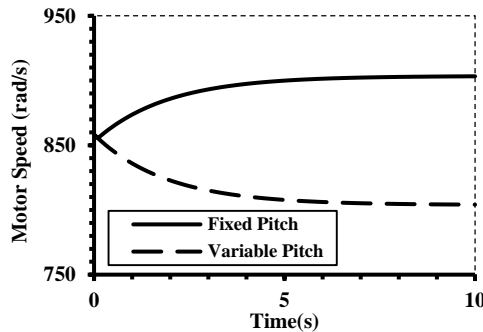
$$\psi(s) = \frac{0.045}{s^2 I_z} \left(\frac{0.2172}{s + 0.536} \right) \quad (26)$$

$$\psi(s) = \frac{0.045}{s^2 I_z} \left(\frac{6.742s + 3.161}{s + 0.536} \right) \quad (27)$$

۳. حداقل توان مصرفی

حداقل کردن توان مصرفی در رژیمهای مختلف پروازی کوادراتور یکسان نیست. با توجه به مانور ایستا که در این تحقیق بررسی

در شکل ۶ مقدار تغییرات سرعت دورانی روتور اصلی در زمان فرمان پله در هر دو مکانیسم نشان داده شده است. می‌توان نشان داد هنگامی که مقدار زاویه گام پره افزایش می‌یابد، اندازه سرعت دورانی روتور اصلی کاسته و بخشی از انرژی جنبشی ذخیره شده در پره باعث افزایش مقدار برآ می‌گردد.



شکل ۶. سرعت دورانی روتور اصلی در زمان فرمان افزایش تراست

۴-۲. مدل دینامیکی کوادراتور گام متغیر

در این قسمت معادلات دینامیکی ۶ درجه آزادی کوادراتور گام متغیر شامل بدن، روتور اصلی، موتور الکتریکی استخراج می‌شود [۱۹] طبق تعریف معادلات حرکت دورانی عبارت‌اند از:

$$\begin{bmatrix} \dot{p} \\ \dot{q} \\ \dot{r} \end{bmatrix} = \begin{bmatrix} bu_1 + \frac{(I_z - I_y)qr}{I_x} + \frac{I_{zrot}\omega_{zrot}qr}{I_x} \\ bu_2 + \frac{(I_x - I_z)pr}{I_y} - \frac{I_{zrot}\omega_{zrot}p}{I_y} \\ \frac{u_3}{I_z} + \frac{(I_y - I_x)pq}{I_z} + \frac{I_{zrot}\dot{\omega}_{zrot}}{I_z} \end{bmatrix} \quad (18)$$

معادلات حرکت خطی مرکز نقل برابر است با:

$$\begin{aligned} \dot{u} &= (vr - qw - gsin\theta) \\ \dot{v} &= (wp - ru - gsin\phi cos\theta) \\ \dot{w} &= (qu - pv - u_4/m + gcos\phi cos\theta) \end{aligned} \quad (19)$$

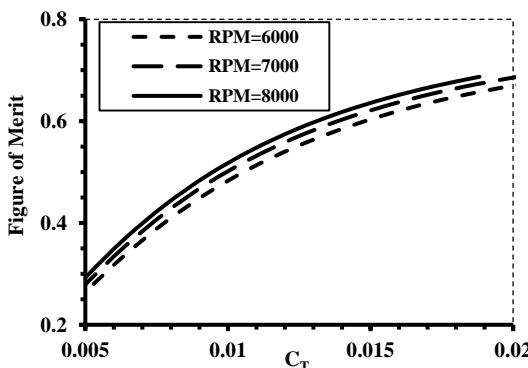
(p, q, r) سرعت‌های دورانی، (u, v, w) سرعت‌های خطی در مختصات بدنی و ω_{zrot} برآیند سرعت دورانی روتورهای پرنده است. در ضمن (ψ, θ, ϕ) زوایای اویلر کوادراتور در مختصات

مرجع است که از رابطه زیر در هر لحظه به روزرسانی می‌گردد:

$$\begin{bmatrix} \phi \\ \dot{\theta} \\ \psi \end{bmatrix} = \begin{bmatrix} 1 & sin\phi tan\theta & cos\phi tan\theta \\ 0 & cos\phi & -sin\phi \\ 0 & sin\phi/cos\theta & cos\phi/cos\theta \end{bmatrix} \quad (20)$$

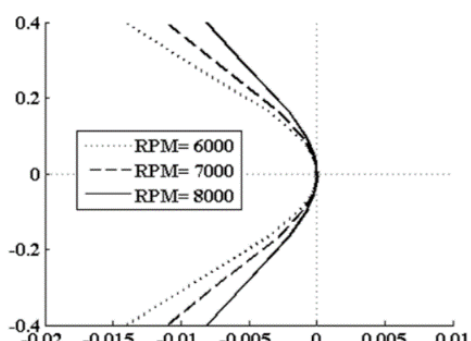
مقادیر (u_1, u_2, u_3, u_4) فرمان‌های کنترلی پرنده هستند که از تغییرات مقدار تراست و گشتاور چهار مجموعه پیش‌ران به دست می‌آیند:

$$\begin{aligned} u_1 &= T_4 - T_2 \\ u_2 &= T_1 - T_3 \\ u_3 &= M_2 + M_4 - M_1 - M_3 \cong C(-T_1 + T_2 - T_3 + T_4) \end{aligned} \quad (21)$$



شکل ۸ تغییرات ضریب شایستگی بر حسب ضریب تراست روتور اصلی

این به معنی بهینه‌ترین حالت پروازی از نظر مصرف است. در شکل ۹ برای مقایسه پایداری وسیله پرنده در شرایط پرواز ایستا، مکان هندسی ریشه‌های سیستم حلقه بسته طی شرایط مختلف سرعت دورانی رسم شده است.



شکل ۹. مکان هندسی ریشه‌های سیستم حلقه بسته برای RPM مختلف

در $RPM = 6000$ مکان هندسی به سمت چپ میل بیشتری دارد، که نشان از پایداری بیشتر در این شرایط است. نکته قابل توجه این است که در این مقدار نسبت بارتوان نیز بهینه‌ترین حالت را نشان می‌داد. لذا بهترین حالت مصرف انرژی و پایداری پرنده، در استفاده از مکانیسم گام متغیر و همچنین مقدار سرعت دورانی کمتر و زاویه گام بیشتر است.

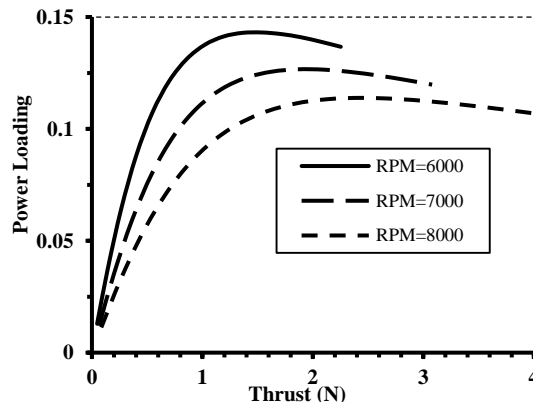
۴. طراحی واپیشگر خطی و ضعیت کوادراتور

در بخش ۴-۲ مدل دینامیکی پرنده و توابع تبدیل زاویه گام کوادراتور در قالب معادلات ۲۴ و ۲۵ ارائه شد. با استفاده از این معادلات مکان هندسی مدل دینامیکی کوادراتور در شکل ۱۰ نشان داده شده است. مکانیسم واپیش با استفاده از تغییر ولتاژ ناپایداری ذاتی دارد. در حالی که در مکانیسم واپیش زاویه گام به دلیل وجود قطب‌ها در سمت چپ و همچنین سرعت بالاتر، سامانه

می‌گردد از نسبت بارتوان برای بهینه کردن پرواز ایستا استفاده شده است [۱۸].

$$\text{Power Loading} = \frac{T}{P} \quad (28)$$

بارتوان نسبت T تراست تولیدی توسط مجموعه روتور نسبت به P توان مصرفی است. هرچه این نسبت بالاتر باشد پرنده از عملکرد مناسبتری برخوردار است. در شکل ۷ مقدار بارتوان مجموعه پیشran شامل ملخ و موتور بر حسب مقدار تراست در دورهای مختلف رسم شده است.



شکل ۷. نمودار بارتوان بر حسب روتور اصلی

با توجه به شکل بالا بهترین راندمان در پرواز ایستا مربوط به $RPM = 6000$ است. در این شرایط مقدار تراست تولیدی نسبت به توان مصرفی بیشترین مقدار است. برای درک بهتر از مقدار T/P از ضریب شایستگی که در بالگردها مرسوم است استفاده می‌گردد.

$$FM = \frac{T}{P} \sqrt{\frac{T}{2\rho A}} \quad (29)$$

فرمول بالا برای مقدار ایدئال ضریب شایستگی استفاده می‌گردد. ضریب شایستگی بی بعد است و می‌تواند در مقایسه بین انواع روتورها مورداستفاده قرار گیرد. این ضریب نسبت بین توان ایده‌آل برای پرواز در مقایسه با توان واقعی مصرفی است.

در شکل ۸ ضریب شایستگی بر حسب ضریب تراست C_T رسم شده است. مقدار ضریب شایستگی مجموعه روتور و موتور الکتریکی حدود ۳،۰ تا ۵،۵ است. در پرنده‌های تفریحی و مدل، ضریب شایستگی نصف پرنده‌های واقعی است. با بررسی بارتوان بهترین عملکرد برای پرواز ایستا در سرعت دورانی ۶۰۰۰ دور بر دقیقه و زاویه گام حدود ۱۰ درجه به دست می‌آید.

برای واپیش ψ سمت پرنده از عکس العمل گشتاور اعمالی بر روی ملخها به صورت کوبی استفاده می‌گردد تا هم‌زمان که مقدار تراست کلی پرنده ثابت مانده و پرنده در راستای ζ حرکت نداشته باشد لیکن در مقابل با تغییر دور موتور و با توجه به قانون بقای ممتنم، کوادراتور در محور سمت ψ دوران نماید. بر اساس توابع تبدیل زاویه سمتی که در بخش مدل‌سازی به دست آمده است؛ با استفاده از نرم‌افزار متلب در حالت‌های مختلف گام متغیر و ثابت واپیشگر خطی طراحی می‌شود البته در اغلب مانورهایی که برای پرنده در نظر گرفته می‌شود مقدار زاویه سمت پرنده را ثابت نگه‌داشته و از دیگر مودهای واپیشی برای انجام مأموریت استفاده نمایند.

$$k_{\psi_{VP}} = \frac{2s + 0.1}{0.4s + 1} \quad (32)$$

$$k_{\psi_{FP}} = -\frac{3.3s + 1.32}{s + 33} \quad (33)$$

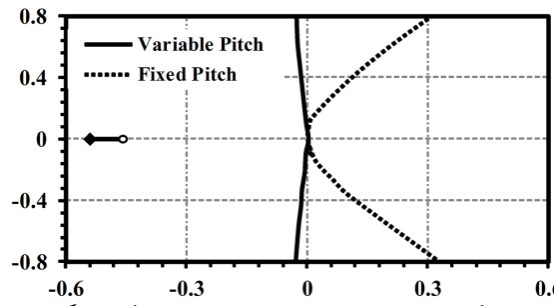
تفاوت علامت واپیشگرها را باید در تفاوت مکانیسم اعمال گشتاور در محور سمتی جستجو کرد. همان‌گونه که در بخش مربوط به شبیه‌سازی عملکرد یک مجموعه پیشran در مقابل فرمان ورودی پله ارائه شده با افزایش زاویه گام ملخ مقدار دور موتور افت پیدا می‌نماید و عملاً برای پیاده‌سازی فرمان گشتاور حول محور سمت علامت واپیشگرها در دو مکانیسم مخالف خواهد بود. همچنین جالب است که پرنده گام ثابت در این مانور از عملکرد بهتری نسبت به پرنده گام متغیر برخوردار است که علت آن در تفاوت مکانیسم اثر این دو پرنده است.

۱-۴. شبیه‌سازی واپیشگر خطی

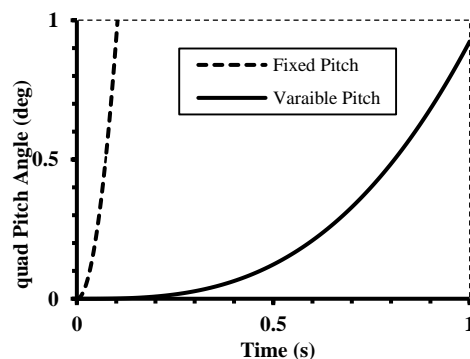
در ادامه پیاده‌سازی واپیشگر طراحی شده در شبیه‌سازی شش درجه آزادی کامل پرنده با استفاده از شبیه‌ساز نرم‌افزار متلب در شکل ۱۲ و ۱۳ ارائه می‌گردد. مقایسه نتایج بهمود پاسخ در استفاده از مکانیسم گام متغیر را در مقایسه با مکانیسم گام ثابت نشان می‌دهد.

واپیشگرهای طراحی شده در مودهای ارتفاع و زوایای پیچ عملکرد مناسبی برخوردار هستند و در شبیه‌ساز شش درجه آزادی غیرخطی به خوبی فرمان دنبال می‌گردد البته در شبیه‌ساز غیرخطی برای عدم ورود روتور پرنده به حالت واماندگی و یا اشاعع الکترونیکی موتور از محدود کننده‌هایی در عملگرها استفاده شده است

پایدارتر است و در دنبال کردن فرمان‌های ورودی از عملکرد بهتری برخوردار خواهد بود. هرچند مکان هندسی قطب‌های حلقه بسته مکانیسم گام متغیر سمت چپ محور است؛ لیکن به دلیل قطب در مبدأ از مرتبه دوم، حلقه باز سیستم ناپایدار است. با استفاده از شبیه‌ساز متلب پاسخ حلقه باز، زاویه پیچ کوادراتور به ورودی پله واحد نمایش داده شده است. همان‌گونه که شکل ۱۱ نشان می‌دهد سیستم با استفاده از هر دو مکانیسم گام متغیر و گام ثابت ناپایدار است.



شکل ۱۰. مکان هندسی قطب‌های سیستم حلقه بسته دو مکانیسم گام ثابت و گام متغیر



شکل ۱۱. پاسخ حلقه باز هر دو مکانیسم به ورودی پله واحد

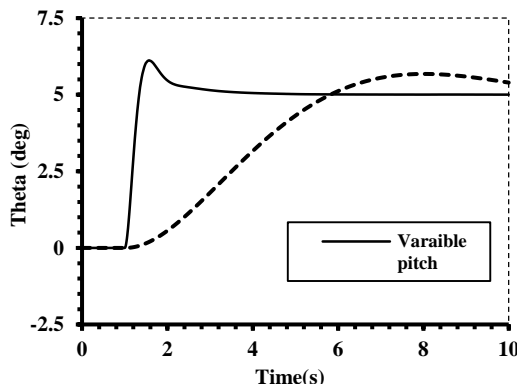
برای بهمود پاسخ سیستم واپیش از Lead – Lag ساده استفاده می‌گردد. توابع واپیشگر طراحی شده به شرح ذیل است:

$$k_{\theta_{VP}} = 0.3 \left(\frac{s + 1}{s + 10} \right) \quad (30)$$

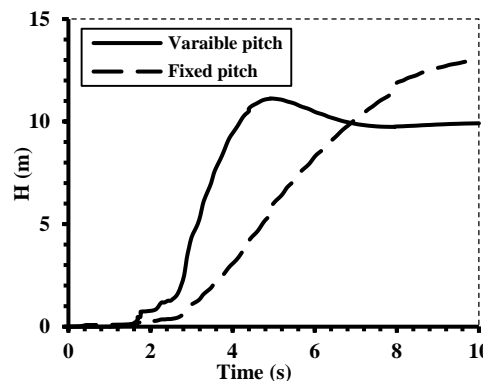
$$k_{\theta_{FP}} = 2.5 \left(\frac{s + 0.02}{s + 50} \right) \quad (31)$$

البته با توجه به تقارن ممان اینرسی در کوادراتور $I_z = I_x$ عملاً توابع تبدیل دو مود طولی (θ) و عرضی (φ) یکسان و درنتیجه واپیشگر موردنیاز برای پایدارسازی آن‌ها نیز مشابه هستند.

که پیادهسازی آن‌ها، محدودیت و اشکالی در پاسخ‌های شبیه‌سازی برای دنبال کردن ورودی‌ها نشان نداده است.

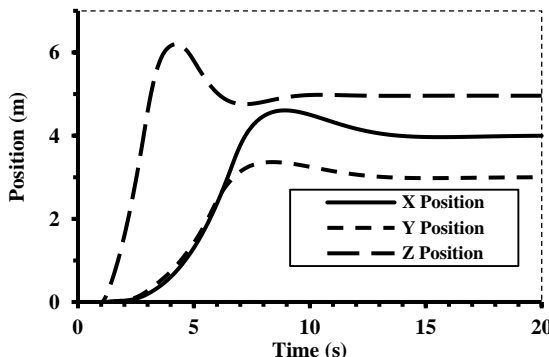


شکل ۱۲. شبیه‌سازی و مقایسه دنبال نمودن فرمان زاویه گام کوادراتور با دو مکانیسم گام متغیر و گام ثابت با استفاده از واپايشگر خطی

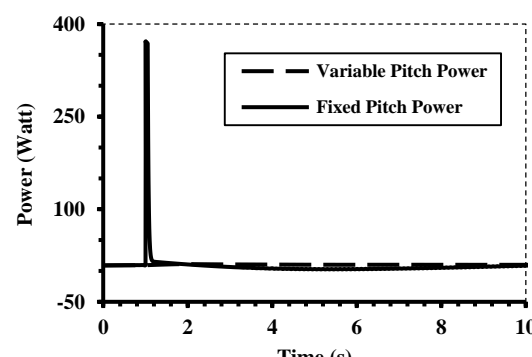


شکل ۱۳. شبیه‌سازی و مقایسه دنبال نمودن فرمان ارتفاع با دو مکانیسم گام متغیر و گام ثابت با استفاده از واپايشگر خطی

شکل ۱۴ توان مصرفی برای انجام مانور قبلی را نمایش می‌دهد. همان‌گونه که در مقایسه انواع روش‌های واپايشی گفته شد مکانیسم گام متغیر به دلیل استفاده از انرژی جنبشی موجود در پره رفتاری سریع‌تر و در مقابل با مصرف توان لحظه‌ای کمتری دارد.



شکل ۱۵. تغییر موقعیت از مکان (۰,۰,۰) به مکان (۴,۳,۵) شبیه‌سازی شده است.



شکل ۱۴. توان مصرفی در مانور واپايش وضعیت

که در آن، $I_3 = \frac{(I_y - I_x)}{I_z}$ و $I_2 = \frac{(I_x - I_z)}{I_y}$ و $I_1 = \frac{(I_z - I_y)}{I_x}$ است. برای خطی سازی بازخورد فرمان واپیشگر به صورت زیر نوشته می‌شود:

$$\begin{aligned} u_1 &= f_1(x_4, x_5, x_6) + u_1^* \\ u_2 &= f_1(x_4, x_5, x_6) + u_2^* \\ u_3 &= f_1(x_4, x_5, x_6) + u_3^* \end{aligned} \quad (39)$$

مقدار تابع f به صورت زیر فرض می‌شود:

$$\begin{aligned} \frac{bf_1}{I_x} + I_1 x_5 x_6 &= k_1 x_4 \Rightarrow f_1 = \frac{I_x}{b} (k_1 x_4 - I_1 x_5 x_6) \\ \frac{bf_2}{I_y} + I_2 x_4 x_6 &= k_2 x_5 \Rightarrow f_2 = \frac{I_y}{b} (k_2 x_5 - I_2 x_4 x_6) \quad (40) \\ \frac{f_3}{I_z} + I_3 x_5 x_4 &= k_3 x_{46} \Rightarrow f_3 = I_z (k_3 x_6 - I_3 x_5 x_4) \end{aligned}$$

درنتیجه:

$$\begin{bmatrix} \dot{x}_4 \\ \dot{x}_5 \\ \dot{x}_6 \end{bmatrix} = \begin{bmatrix} \frac{bu_1^*}{I_x} + k_1 x_4 \\ \frac{bu_3^*}{I_y} + k_2 x_5 \\ \frac{u_3^*}{I_z} + k_3 x_6 \end{bmatrix} \quad (41)$$

در عبارت بالا تغییرات متغیر حالت به صورت خطی با فرمان واپیشگر و مقدار متغیر حالت متناسب شده است. برای ارضی شرایط پایداری در تمام حالات با استفاده از تابع لیاپانوف؛ مقدار ضرایب k به دست می‌آید. مقدار u^* صفر و تابع لیاپانوف به صورت زیر بازنویسی می‌گردد:

$$V = 0.5(x_4^2 + x_5^2 + x_6^2) \Rightarrow \dot{V} = (x_4 \dot{x}_4 + x_5 \dot{x}_5 + x_6 \dot{x}_6) = (k_1 x_4^2 + k_2 x_5^2 + k_3 x_6^2) \quad (42)$$

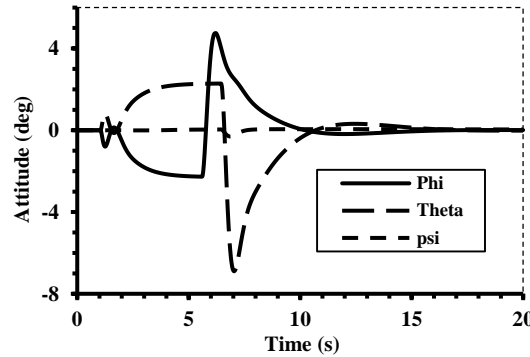
برای پایداری تابع لیاپانوف مقدار مشتق تابع همیشه باید منفی باشد. لذا قید پایداری کوادراتور این است که مقدار k منفی باشد. با جایگذاری متغیرهای حالت مربوط به زوایای پرنده، معادله دیفرانسیلی مرتبه دوم به دست می‌آید:

$$\begin{bmatrix} \ddot{x}_7 \\ \ddot{x}_8 \\ \ddot{x}_9 \end{bmatrix} = \begin{bmatrix} \frac{bu_1^*}{I_x} + k_1 \dot{x}_7 \\ \frac{bu_2^*}{I_y} + k_2 \dot{x}_8 \\ \frac{u_3^*}{I_z} + k_3 \dot{x}_9 \end{bmatrix} \quad (43)$$

درنتیجه معادله واپیشگر به صورت زیر در نظر گرفته می‌شود:

$$\begin{aligned} u_1^* &= \Gamma_1(x_7^d - x_7) \\ u_2^* &= \Gamma_2(x_8^d - x_8) \\ u_3^* &= \Gamma_3(x_9^d - x_9) \end{aligned} \quad (44)$$

در این شبیه‌سازی بر عملگرها محدود کننده قرار گرفته و مقدار زاویه سمت پرنده در زمان مانور موقعیت مقدار صفر ثابت نگهداشته شده است (شکل ۱۶).



شکل ۱۶. زوایای وضعیت پرنده (برحسب درجه) در مانور تغییر موقعیت

۵. خطی سازی بازخورد

روش خطی سازی بازخورد یک روش طراحی واپیشگر سامانه‌های غیرخطی است که با تقریب دینامیک سیستم و حذف پارامترهای غیرخطی با بازخورد گرفتن از متغیرهای حالت سیستم به پایدارسازی وسیله می‌پردازد. لذا با توجه به دینامیک غیرخطی کوادراتور در این مرحله با استفاده از خطی سازی بازخورد واپیشگر وضعیت برای کوادراتور طراحی می‌شود [۲۰]. اگر متغیرهای حالت را ترکیب موقعیت و وضعیت در نظر گرفته شود:

$$X^T = (\dot{x}, \dot{y}, \dot{z}, \dot{\phi}, \dot{\theta}, \dot{\psi}, \varphi, \theta, \psi)$$

$$\dot{X} = \begin{cases} (\cos \psi \sin \theta \cos \phi + \sin \psi \sin \phi) u_4 / m \\ (\sin \psi \sin \theta \cos \phi - \cos \psi \sin \phi) u_4 / m \\ ((\cos \phi \cos \theta) u_4 - mg) / m \\ \frac{bu_1}{I_x} + \frac{(I_z - I_y) x_5 x_6}{I_x} + \frac{I_{z_{rot}} \omega_{z_{rot}} x_5}{I_x} \\ \frac{bu_2}{I_y} + \frac{(I_x - I_z) x_4 x_6}{I_y} - \frac{I_{z_{rot}} \omega_{z_{rot}} x_4}{I_y} \\ \frac{u_3}{I_z} + \frac{(I_y - I_x) x_5 x_4}{I_z} + \frac{I_{z_{rot}} \dot{\omega}_{z_{rot}}}{I_z} \\ x_4 \\ x_5 \\ x_6 \end{cases} \quad (37)$$

با ناچیز در نظر گرفتن اثر ژیروسکوپی و با توجه به ابعاد کوچک ملح معادله ۳۷ به صورت زیر بازنویسی می‌شود:

$$\begin{bmatrix} \dot{x}_4 \\ \dot{x}_5 \\ \dot{x}_6 \end{bmatrix} = \begin{bmatrix} \frac{bu_1}{I_x} + I_1 x_5 x_6 \\ \frac{bu_2}{I_y} + I_2 x_4 x_6 \\ \frac{u_3}{I_z} + I_3 x_5 x_4 \end{bmatrix} \quad (38)$$

با جایگذاری معادلات ۴۴، در مدل دینامیکی وضعیت کوادروتور، یک رابطه خطی برای مدل دینامیکی متغیرهای حالت به دست می‌آید که از آن برای واپايش وسیله پرنده استفاده می‌شود.

$$\begin{aligned}\ddot{\varphi} &= k_1 \dot{\varphi} + \frac{b}{I_x} \Gamma_1 (\varphi_d - \varphi) \\ \ddot{\psi} &= k_3 \dot{\psi} + \frac{1}{I_z} \Gamma_3 (\psi_d - \psi) \\ \ddot{\theta} &= k_2 \dot{\theta} + \frac{b}{I_y} \Gamma_2 (\theta_d - \theta)\end{aligned}\quad (45)$$

با حل معادله بالا، تابع تبدیل ورودی به خروجی ($X_d(s)/X(s)$) به صورت ذیل خواهد بود که با استفاده از تنظیم k_i, Γ_i می‌توان رفتار تابع تبدیل را در پاسخ به ورودی‌ها تنظیم نمود:

$$\frac{\varphi_d(s)}{\varphi(s)} = \frac{\frac{b}{I_x} \Gamma_1}{s^2 - k_1 s + \frac{b}{I_x} \Gamma_1} \quad (46)$$

برای رسین به ضریب میرایی ۷۰ فرض کرد $\Gamma_i = 0.4$ است، بنابراین:

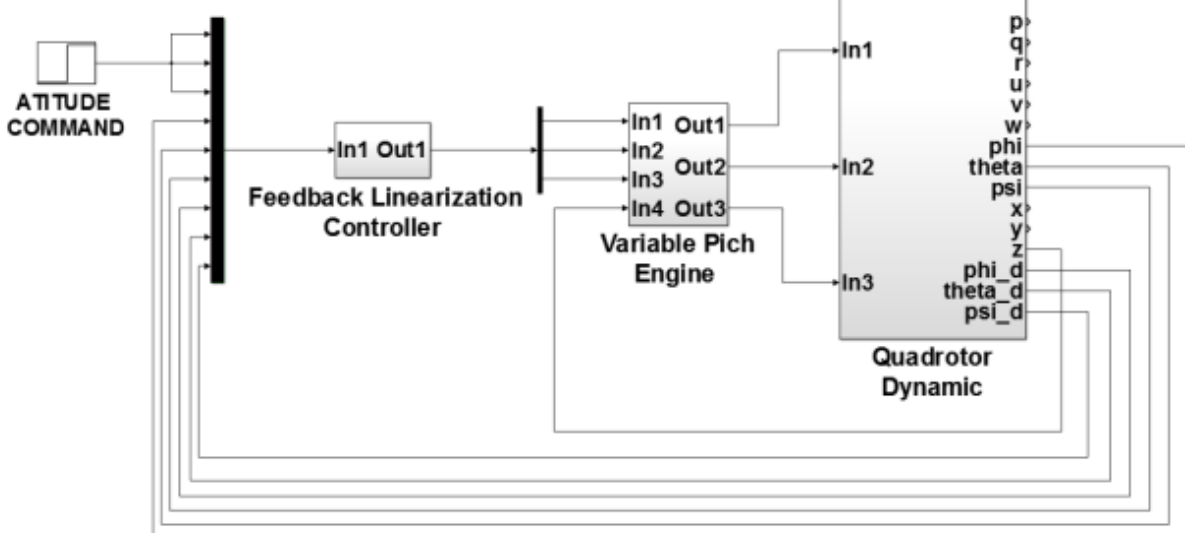
$$\begin{aligned}u_1 &= \frac{I_x}{b} (k_1 x_4 - I_1 x_5 x_6) + \Gamma_1 (x_7^d - x_7) \\ u_2 &= \frac{I_y}{b} (k_2 x_5 - I_2 x_4 x_6) + \Gamma_2 (x_8^d - x_8) \\ u_3 &= \frac{I_x}{b} (k_3 x_6 - I_3 x_4 x_5) + \Gamma_3 (x_9^d - x_9)\end{aligned}\quad (47)$$

۱-۵ شبیه‌سازی خطی سازی بازخورد

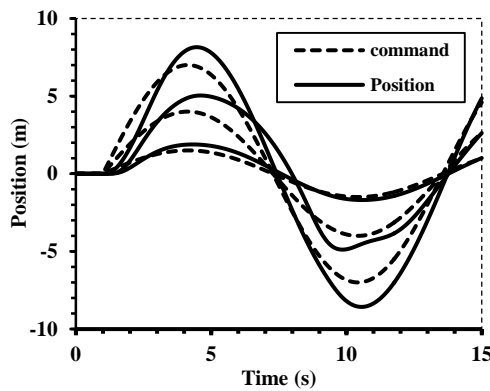
برای پیاده‌سازی این واپايشگر از شبیه‌ساز نرم‌افزار متلب استفاده شده است (شکل ۱۷). با استفاده از شبیه‌سازی در پاسخ فرمان پله به مقدار ۳ درجه برای هر سه زاویه φ , θ و ψ به صورت همزمان در شکل ۱۸ رسم شده است.

خط ساده فرمان پله ۵ درجه است و خط نقطه‌چین زوایای گام و غلت پرنده هستند که به دلیل دینامیک متقاضی پرنده دارای رفتار یکسانی بوده و بر یکدیگر منطبق شده‌اند. همان‌گونه که مشاهده می‌شود واپايش زوایای غلت و گام کوادروتور در استفاده از بازخورد خطی بسیار بهبودیافته است هرچند واپايش پرنده در مود زاویه سمتی تضعیف شده است.

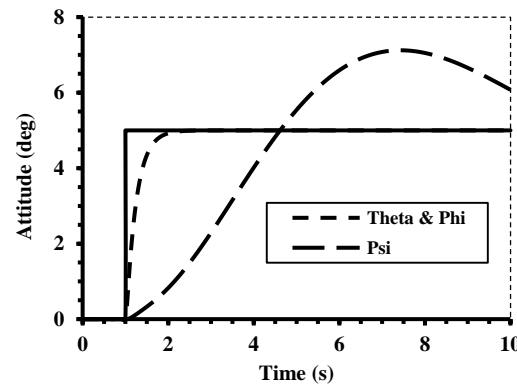
پس از طراحی حلقه داخلی که مقدار زوایای وضعیت پرنده را واپايش می‌نماید؛ موقعیت پرنده نیز در قالب حلقه خارجی با استفاده از واپايشگر PI واپايش می‌شود. مجموعه این واپايشگرها عملکرد بهتری نسبت به واپايشگر طراحی شده به روش خطی در بخش سوم را نشان می‌دهد. در شکل ۱۹ ورودی نوسانی در ۳ راستای X, Y, Z به عنوان ورودی به ترتیب با دامنه‌های حرکتی ۰/۷ و ۰/۴۱ متر به پرنده داده شده است که پرنده به صورت همزمان آن‌ها را دنبال نموده است.



شکل ۱۷. نمایی از شبیه‌سازی صورت گرفته برای واپايشگر خطی سازی برخورد- واپايشگر خطی سازی برخورد با استفاده از بازخورد زاویه و نرخ آن فرمان لازم برای واپايش وضعیت پرنده را برابر اساس فرمول (۴۷) در قالب فایل متی محاسبه و تولید می‌نماید.



شکل ۱۷. پاسخ فرمان ورودی سینوسی برای موقعیت پرنده گام متغیر با استفاده از واپايشگر خطی سازی بازخورد



شکل ۱۸. شبیه‌سازی غیرخطی به فرمان پله هم‌زمان زوایای وضعیت با استفاده از واپايشگر طراحی شده به روش خطی سازی بازخورد

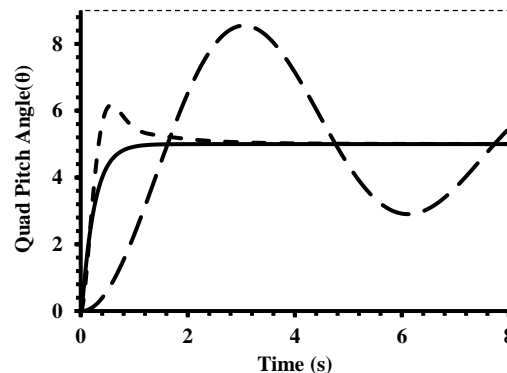
در انتهای بعنوان ارزیابی روش‌های توسعه داده، شکل ۲۰ مقایسه‌ای بین دنبال نمودن فرمان زاویه گام پرنده با استفاده از مکانیسم‌های مختلف و همچنین واپايشگرهای مختلف نمایش می‌دهد. همان‌گونه که انتظار می‌رفت مکانیسم گام متغیر بسیار سریع‌تر از مکانیسم گام ثابت پرنده را واپايش می‌نماید و مضاف بر آن روش خطی سازی بازخورد پاسخ آرام‌تر و سریع‌تری را از خود نمایش می‌دهد.

۷. نتیجه‌گیری و جمع‌بندی

در این تحقیق واپیش زاویه گام پره روتور اصلی با بهره‌گیری از تحلیل جامع آثرودينامیک مجموعه پیشran و استفاده از متدهای بالگردی، روش نوبنی در ارتقا مانورپذیری، کاهش توان مصرفی و درنتیجه افزایش مداومت کوادرورتور ارائه نمود. در بخش اول با مقایسه مکانیسم‌های مختلف واپیش کوادرورتور شامل گام ثابت و گام متغیر، برتری مکانیسم گام متغیر در واپیش وضعیت و موقعیت پرنده نمایش و در بخش دوم روشی غیرخطی برای بهبود کارایی پرنده با استفاده از مکانیسم گام متغیر ارائه داده شده است. واپايشگر خطی سازی بازخورد توانمندی مناسبی در پايش بهره‌گیری از مکانیسم گام متغیر در واپیش کوادرورتورها زمینه مانور معکوس را برای توسعه مانورپذیری و بهینه‌سازی پروازهای گروهی کوادرورتورها را فراهم خواهد نمود.

۸. فهرست علائم

فشار ($\text{kgm}^{-1}\text{s}^{-2}$)	P
وتر پره	c
سرعت خطی المان	v
عدد رینولدز	Re
شیب منحنی برآ	C_{l_a}
ضریب نیروی پسای	C_D
گشتاور آثرودينامیکی المان	dQ
تراست آثرودينامیکی المان	dT
شعاع پره	R_p
ثابت موتور ($\frac{\text{rad/s}}{\text{vol}}$)	K_V
ثابت گشتاور موتور ($\frac{\text{Amp}}{\text{N.m}}$)	K_Q



شکل ۲۰. پاسخ به فرمان زاویه گام برای کل پرنده نمودار نقطه چین مربوط به پرنده گام ثابت است و نمودارهای خط‌چین و ساده به ترتیب مربوط به پرنده گام متغیر با واپايشگرهای خطی ساده و خطی سازی بازخورد است.

۹. قدردانی

اصول اخلاقی و حقوق علمی حکم می‌کند به این نکته اشاره شود که این مقاله در اولین کنفرانس بین‌المللی مکانیک و هوافضا که در دانشگاه تهران برگزار شد، ارائه و جزو مقالات برگزیده انتخاب شده است. لازم است در این بخش از تمام متصدیان آن رویداد علمی تشکر گردد.

عالم یونانی		مقاومت داخلی موتور	<i>R</i>
زوایای اویلر کوادروتور در مختصات مرجع چگالی ($\text{kg} \cdot \text{m}^{-3}$)	ϕ, θ, ψ ρ	سرعت‌های دورانی پرنده در مختصات بدنی	p, q, r
برآیند سرعت دورانی روتورهای پرنده	$\omega_{z_{rot}}$	سرعت‌های خطی پرنده در مختصات بدنی	u, v, w
سرعت دورانی روتور اصلی	Ω	فرمان‌های واپیشی پرنده	u_1, u_2, u_3, u_4
زیرنویس‌ها		گشتاور موردنیاز برای چرخش موتور گشتاور تولیدی موتور	Q_L Q_M
گشتاور	M	گمان اینرسی	I
برا	L		

۹. مأخذ

- [1] Jun Li, Dynamic analysis and PID control for a quad rotor, International Conference on Mechatronics and Automation (ICMA), 2011.
- [2] A.Tayebi, S. McGilvray, Attitude stabilization of a four-rotor aerial robot, IEEE Conference on decision and Control, 2004.
- [3] Dario Martin Schafroth, Aerodynamics, Modeling and Control of an Autonomous Micro Helicopter, PhD Thesis, Zürich, Schweiz, 2010
- [4] S. Bouabdallah, Design and Control of Quad Rotors with Application to Autonomous Flying, PhD Thesis of Ecole Polytechnique Fédérale De Lausanne, 2007.
- [5] Ashfaq Ahmad Mian, Wang Daobo, Modeling and Back stepping-based Nonlinear Control Strategy for a 6 DOF Quadrotor Helicopter, Chinese Journal of Aeronautics, 2008.
- [6] T. Madani and A. Benallegue, Back stepping Control for a Quadrotor Helicopter, International Conference on Intelligent Robots and Systems, IEEE, 2006.
- [7] Yu yali, Jiang changhong; Back stepping Control of Each Channel for a Quadrotor Aerial Robot, International Conference on Computer, Mechatronics, Control and Electronic Engineering (CMCE); 2010.
- [8] Dadgarnezhad H., Kazemi M.H, Control design of quadrotor feed forward controller in the mass uncertainty, International conference on electrical Engineering, Tehran, (2016) [in Persian].
- [9] Abdellah Mokhtari and A. Benallegue, Dynamic Feedback Controller of Euler Angles and Wind parameters estimation for a Quadrotor Unmanned Aerial Vehicle, International Conference on Control Applications, IEEE; USA, 2004.
- [10] A. Mokhtari, A.Benallegue, Robust feedback linearization and GH ∞ controller for a quadrotor unmanned aerial vehicle, International Conference on Intelligent Robots and Systems, IEEE, 2005.
- [11] Zhou Fang, Zhang Zhi, Liang Jun, Wang Jian, Feedback Linearization and Continuous Sliding Mode Control for a Quadrotor UAV, Proceedings of the 27th Chinese Control Conference, China, 2008.
- [12] A.Benallegue, A. Mokhtari, and L. Fridman, Feedback linearization and high order sliding mode observer for a quadrotor UAV, International Workshop on Variable Structure Systems, IEEE, 2006.
- [13] M. Khoshboy, H. Sadati, Quadrotor unmanned aerial vehicle controller design, International conference on electrical Engineering, Tehran, (2016) [in Persian].
- [14] J. Bornstein, The Hoverbot, An electrically powered flying robot, University of Michigan, unpublished.
- [15] B. Michini and et al, Design and flight testing of an autonomous variable-pitch quad rotor International Conference on Robotics and Automation, IEEE, May 2011.
- [16] p. J. Bristeau, The Role of Propeller Aerodynamics in the Model of a Quad Rotor Uav, the European Control Conference, Budapest, Hungary, 2009.
- [17] Mark Drela, First-Order DC Electric Motor Model, MIT Aero & Astro, February 2007.
- [18] J .Leishman, Principles Of Helicopter Aerodynamics, Cambridge Aerospace Series, j. Rycroft, first Edn, PP. 243-298, Cambridge University Press, 2000.
- [19] p. Castillo and R. Lozano, Modeling and Control of Mini-Flying Machines, Springer, Advanced Textbooks in Control and Signal Processing, 2009.
- [20] H. Voos, nonlinear control of a quad rotor micro-uav using feedback-linearization, international conference on mechatronic, IEEE, 2009.

پی‌نوشت

-
1. Control
 2. Controller